

ИНСТИТУТ ЯДЕРНОЙ ФИЗИКИ
СО АН СССР

Э.И.Горнигер, С.Н.Морозов, В.Е.Теряев,
И.А.Шехтман.

АНАЛИЗ ОГРАНИЧЕНИЙ ПАРАМЕТРОВ
ГИРОКОНА НЕПРЕРЫВНОГО
ГЕНЕРИРОВАНИЯ МЕГАВАТТНОЙ
МОЩНОСТИ ПРИ ПЕРЕХОДЕ ОТ
МЕТРОВОГО К ДЕЦИМЕТРОВОМУ
ДИАПАЗОНУ ВОЛН

ПРЕПРИНТ 83-46

НОВОСИБИРСК

Горников Э.И., Морозов С.Н., Теряев В.Е., Шехтман И.А.

АНАЛИЗ ОГРАНИЧЕНИЙ ПАРАМЕТРОВ ГИРОКОНА НЕПРЕРЫВНОГО
ГЕНЕРИРОВАНИЯ МЕГАВАТТНОЙ МОЩНОСТИ ПРИ ПЕРЕХОДЕ ОТ
МЕТРОВОГО К ДЕЦИМЕТРОВОМУ ДИАПАЗОНУ ВОЛН

А Н Н О Т А Ц И Я

Рассматриваются конструктивные схемы двухрезонаторных гироконов на базе электронно-оптической и высоковольтной систем гирокона, действующего на частоте 181 МГц, при переходе к частоте 915 МГц. Низкая энергия электронов (200-250 кэВ) ограничивает мощность пучка в режиме непрерывного генерирования величинами $I + 2$ МВт.

Анализируются две схемы: радиальный гирокон с ферромагнитным отражателем и аксиальный гирокон с дополнительной фокусировкой развернутого пучка (т.н. гирокон с удлиненным лучом). Вывод о возможности прохождения пучка мегаваттной мощности через электронно-оптические каналы в этих схемах делается на основании численного счета границ пучка в электростатической формирующей системе действующего гирокона при максимально возможном приближении магнитной фокусирующей линзы к анодному отверстию ускоряющего зазора.

Коэффициент усиления, КПД, напряженность ВЧ электрического поля, удельная мощность, рассеиваемая в выходном резонаторе и коллекторе, оцениваются с помощью приближенной теории гирокона.

В сравнении с гироконом метрового диапазона тридцатисантиметровый гирокон имеет увеличенные (в 2,25 раза) потери в резонаторах и по геометрическим соображениям требует в 1,5 раза большего угла развертки. Это приводит к снижению усиления. Чтобы повысить коэффициент усиления без увеличения числа резонаторов, можно применить развертку луча с регенерацией ВЧ мощности. Известные в ускорительной технике резонаторы с двумя зазорами, - резонатор с дрейфовой трубкой или резонатор с шайбой (на π -виде колебаний), - позволяют это сделать.

Таким образом, на частоте 915 МГц возможно, по-видимому, создание двухрезонаторного гирокона непрерывного генерирования мегаваттной мощности с КПД до 70% и коэффициентом усиления более 20 дБ.

I. Для ВЧ питания ускоряющих резонаторов современных электрон-позитронных накопителей встречных пучков требуется уровни непрерывной мощности от сотен до тысяч киловатт в диапазоне метровых и дециметровых волн. В Институте ядерной физики СО АН СССР в 1977 году для накопителя ВЭШ-4 построен гирокон непрерывного генерирования [1,2] со следующими параметрами: рабочая частота 181 МГц, максимальная выходная мощность $P_{6,1x} = 400$ кВт при полном КПД $\eta = 75\%$ и коэффициенте усиления $K = 17$ дБ. Этот гирокон длительное время эксплуатировался на стенде для испытания ускоряющих резонаторов, а затем был включен в ВЧ систему накопителя ВЭШ-4, на котором были начаты эксперименты по точному определению массы $\sqrt{-}$ -мезона [3].

Высоковольтная и электронно-оптическая системы, а также система круговой развертки луча гирокона, были кратковременно опробованы в непрерывном режиме при мощности пучка 700 ± 1000 кВт и энергии электронов 220 ± 260 кэВ [2]. В связи с тем, что для ВЧ систем новых накопителей с повышенной энергией частиц становится оптимальным не метровый, а дециметровый диапазон волн, представляет интерес проанализировать возможности создания гирокона непрерывного генерирования мегаваттной мощности в тридцатисантиметровом^{*)} диапазоне волн на базе высоковольтной и электронно-оптической систем действующего гирокона накопителя ВЭШ-4.

Анализ проведем для частоты 915 МГц^{**)}. Уменьшение рабочей волны гирокона в пять раз приведет к соответствующему воз-

^{*)} Частота 900 ± 1000 МГц, по-видимому, близка к предельно высокой для ускоряющих резонаторов оптимальной формы, работавших в непрерывном режиме.

^{**) Эта частота выделена ГКРЧ СССР для установок научного и промышленного применения [4].}

растанию напряженности электрического поля в выходном резонаторе, а также тепловых нагрузок на стенки этого резонатора и коллектора. Однако, прежде всего, потребуется уменьшить примерно в пятеро поперечные размеры электронного луча и электронно-оптического канала гирокона, чтобы сохранить высокий электронный КПД. При этом зазоры между "границей" пучка и стенками канала также уменьшаются в пять раз в сравнении с зазорами в действующем гироконе. Возможность такого уменьшения зазоров, такие как и допустимый уровень напряженности электрического поля в резонаторе в области прохождения мощного пучка, могут быть установлены только в процессе эксперимента на дециметровых волнах.

Ниже анализируются лишь такие ограничения, которые могут быть рассмотрены на основе теории гирокона [5]. Обсуждаются также возможные пути преодоления этих ограничений. Сравниваются две разновидности конструктивных схем: аксиальный (рис.1) и радиальный (рис.2) гирокон [6]. Резонатор развертки в каждой из схем рассматривается в виде одиночного E_{μ_0} -резонатора с круговой поляризацией магнитного поля на оси [2] (рис.3).

2. Расчет и сравнение конструктивных схем ведутся при следующих исходных данных: мощность пучка $P_0 = 1000$ кВт, энергия электронов $eU_0 = 200$ кэВ, (микропервеанс^{*)} $\beta_M = 0,043$), длина рабочей волны $\lambda = 32,8$ см, начальный диаметр пучка $D \approx \frac{\lambda}{20} = 1,6$ см [1]. Принятые для расчета значения P_0 и eU_0 были получены экспериментально при хорошем (99%) токопрохождении через канал гирокона метрового диапазона волн [2]. Возможность получения начального диаметра пучка $D = 1,6$ см с помощью электростатической системы формирования луча этого гирокона показана путем численного счета границ пучка с учетом объемного заряда в реальной конструкции электронной пушки с максимально приближенной к аноду первой фокусирующей линзой (рис.4). Сравниваемые конструктивные схемы оцениваются затем и при других исходных данных, - $P_0 = 2000$ кВт, $eU_0 = 250$ кВ, ($\beta_M = 0,043$), - которые экспериментально получены не были, но, по-видимому, достижимы на действующих высоковольтной и

^{*)} На релятивистских уровнях энергии имеется в виду $P_{\mu \text{ экв}} \approx \approx P_M (1 + 10^{-6} U_0)^{\frac{1}{2}}$ - "эквивалентный" микропервеанс [7].

электронно-оптической системах гирокона накопителя ВЭПП-4.

3. Радиальный гирокон (рис.2) метрового диапазона волн не может быть подобно уменьшен в 5 раз из-за малых размеров центральной части выходного резонатора. Поэтому для дециметровых волн он рассматривается без второй фокусирующей системы [2] и с ферромагнитным отражателем [7,8] минимального диаметра (рис. 5, 6). По заданной мощности луча и энергии электронов рассчитываются основные размеры электронно-оптического тракта гирокона на основе моделей свободно расходящегося оптимально сфокусированного параксиального пучка электронов и точечного магнитного отражателя [7] (Табл. I). Выбор угла развертки $\alpha = 0,15$ (рис.5) диктуется соотношениями (3), (4) (Табл. I), т.к. при $\alpha = 0,1$ (2) магнитная индукция в отражателе возрастает на порядок (4).

На основе плоской и коаксиальной моделей [6] рассчитывается выходной резонатор гирокона. При относительной скорости бегущей в нем волны $v = 1,84$ оптимальный пролетный зазор составит $b_o \approx 0,2\lambda$ [6]. Радиусы цилиндров и высота оптимального по потерям выходного коаксиального H_{111} -резонатора составят $R_1 = b_o = 0,2\lambda$, $R_2 = 0,4\lambda$, $H = 0,6\lambda$ (рис.5). Размеры щелей для прохода луча, - $\Delta H_{R_1} \approx 2$ см, $\Delta H_{R_2} \approx 4$ см, - определяются по размерам пучка (5) (табл. I) с учетом зазора между его "границей" и краем щели. Этот зазор принят равным радиусу пучка, а вблизи отражателя, где луч слабо развернут, - диаметру пучка (рис.6).

Электрическая прочность пролетного промежутка в плоской модели выходного резонатора характеризуется соотношением (6) [6] :

$$E_{min} \approx \frac{U_0}{\lambda} \pi \sqrt{\frac{\gamma_0 + 1}{\gamma_0 - 1}}, \quad (6)$$

где E_{min} - напряженность электрического поля в пучности при критическом режиме. Для принятых исходных данных $E_{min} \approx 47 \frac{\text{kV}}{\text{см}}$. Однако, в коаксиальном H_{111} -резонаторе эта величина удваивается. Более точные оценки [6] дают значение $(E_{min})_{R_1} \approx 80 \frac{\text{kV}}{\text{см}}$, а учет отличия пролетного зазора от оптимального за счет проекции поля в щели (полагаем, что пролетный промежуток увеличивается на половину размеров щелей) повышает это значение

приблизительно на 30%. Таким образом, $(E_{min})_R \approx 100 \frac{\text{kV}}{\text{см}}$, что может явиться принципиальным ограничением для радиального гирокона. Экспериментальных данных о длительной работе в непрерывном режиме на дециметровых волнах с такими полями - нет. Наиболее близкими - являются условия испытания ускоряющих резонаторов ВЭШ-4 [9] : частота 181 МГц, непрерывный режим, $E_{max} = 80 \frac{\text{kV}}{\text{см}}$. длительность испытаний 2+3 часа. С укорочением волны электрическая прочность, по-видимому, возрастет, но близость мощного электронного пучка может ее снизить.

По найденным размерам, амплитуде ВЧ напряжения ($U \approx 1,8 U_0$ [6]) и данным о материале стенок^{*)} рассчитывается мощность потерь в выходном коаксиальном H_{11} -резонаторе. Она составляет $P_s \approx 250 \text{ кВт}$, из них $P_{s\phi} \approx 115 \text{ кВт}$ - потери во внутреннем цилиндре, где плотность мощности достигает $P_{s\phi} = 135 \frac{\text{Вт}}{\text{см}^2}$. Примерно такая же удельная мощность рассеивается в коллекторе, размеры активной части которого выбраны так, как показано на рис.5 (глубина коллектора $\ell_K = 0,6 \lambda$, длина окружности входа в коллектор $\ell_{okp} = 2\pi\lambda$). Если пучок мощностью $P_o = 1000 \text{ кВт}$ равномерно распределен по коллектору, удельная мощность составит $P_{s\phi, колл.} = 125 \frac{\text{Вт}}{\text{см}^2}$. Такие тепловые нагрузки на стенки резонатора и коллектора хотя и высоки, но не являются принципиальным ограничением.

Угол развертки (Табл. I), мощность пучка и энергия электронов служат исходными для расчета E_{110} -резонатора развертки [2,10] (рис.3). Пролетный зазор, близкий к оптимальному составляет $h = 0,18 \lambda$, потери в стенках - $P_1 = 16 \text{ кВт}$, потери на ускорение электронов $P_2 = 8 \text{ кВт}$, т.е. входная мощность $P_{bx} = 24 \text{ кВт}$.

Снижение КПД за счет энергетического разброса при развертке [2] составит 6%, за счет азимутального размера пучка - менее 1%, за счет нагрева стенок выходного резонатора - 25%. Если принять, что факторы, не рассмотренные здесь (КСВН нагрузки, вторичные электроны, потери тока и т.п.), снижают КПД еще на 10%, то полный КПД составит $h \approx 60\%$, выходная мощность $P_{bx} = 600 \text{ кВт}$, а коэффициент усиления $K = \frac{P_{bx}}{P_{bx}} = 14 \text{ дБ}$.

^{*)} Здесь и далее рассматривается медь при $t = 80^\circ\text{C}$ с шероховатостью, увеличивающей поверхностное сопротивление на 20%.

4. Анализ простейшей аксиальной схемы гирокона (рис. I) показывает, что ее преимуществом в сравнении с радиальной схемой является повышенная электрическая прочность выходного резонатора, а главным недостатком - очень низкий ($K < 5 \text{ дБ}$) коэффициент усиления. Последний определяется большим ($\alpha \approx 0,4$) углом развертки.

Повысить усиление гирокона можно применением пассивного (третьего) резонатора [1,2,10]. Однако, этого можно достичь и в двухрезонаторном варианте аксиального гирокона: в т.н. гироконе с удлиненным лучом (рис.7). Введение здесь второй фокусирующей системы, подобно тому, как это сделано в радиальном гироконе [2], позволяет увеличить длину луча, если расположить щели выходного резонатора в области второго кроссовера. Хотя он является линейным, а не точечным, т.е. пучок фокусируется здесь только по радиусу, рост азимутального размера пучка еще не приводит к заметному снижению КПД. Удлинение луча примерно втрое позволяет вернуться к малому углу развертки ($\alpha = 0,15$), т.е. к высокому коэффициенту усиления.

В этой схеме (рис.7) пучок, расширявшись после первого кроссовера до начального размера D , фокусируется двумя парами включенных встречно катушек, окруженных ферромагнитным ярмом. Оценка необходимого тока катушек при расстоянии от оси пучка до стенки канала $\frac{3}{2}D$ и толщине водоохлаждаемой стенки $\Delta = 1 \text{ см}$ дает приемлемые значения тепловыделения в меди ($< 300 \text{ Вт}$) и магнитной индукции в железе ($< 0,2 \text{ Т}$).

Размер щелей в выходном E_{110} -резонаторе, $R = 1,6 \text{ см}$, приводит к соответствующему увеличению пролетного зазора и к росту напряженности электрического поля на 12%. Незначительные искажения формы E_{110} -резонатора (рассматриваемые как слабая "сферичность") (рис.7) дополнительно увеличивают поле на выпуклой поверхности еще на 4%. Таким образом, в сравнении с плоской моделью выходного резонатора, работающего в критическом режиме [6] (6), электрическое поле в пучности возрастает незначительно и составит $E_{min} = 55 \frac{\text{kV}}{\text{см}}$, что, по-видимому, не является серьезным ограничением.

В аксиальном гироконе с удлиненным лучом потери мощности в выходном E_{110} -резонаторе составят $P_s \approx 150 \text{ кВт}$ (при амплитуде ВЧ напряжения $U = 1,55 U_0$ [6]), а потери КПД - 15%.

Здесь, однако, появится дополнительное снижение КПД за счет искривления траекторий [1] - 3%. Полный КПД этого гирокона (с учетом 10% снижения за счет нерассмотренных факторов) превысит 65%, но главное - в этом варианте может быть снято ограничение по электрической прочности выходного резонатора.

Недостатком варианта (рис.7) является высокая удельная мощность на коллекторе заданной глубины ($\ell_K = 0,6\lambda$) при работе с расстроенным выходным резонатором ($P_{u_9, \text{кол.}} = 400 \frac{\text{мВт}}{\text{см}^2}$). Это ограничение, однако, не является принципиальным, т.к. его можно обойти, усложнив коллектор (введя устройство, рассеивающее пучок по увеличенной поверхности) или схему питания (исключением возможности работать в непрерывном режиме на расстроенный резонатор). Результаты оценок параметров двух рассмотренных вариантов даны в таблице 2.

В сравнении с гироконом метрового диапазона [2] тридцатисантиметровый гирокон имеет повышенные потери в резонаторах, что снижает КПД примерно на 10%, и усиление на 3,5 дБ. Еще на столько же снижается усиление за счет увеличенного в 1,5 раза угла развертки. Восстановить пониженный коэффициент усиления, не увеличивая число резонаторов, можно путем регенерации ВЧ-мощности при отклонении пучка.

5. Регенерация возможна, в частности, в E_{110} -резонаторе развертки (рис.3) при увеличении пролетного зазора. Входная мощность гирокона зависит от него следующим образом [2] :

$$P_{ex} = A \frac{\beta_0 \alpha + 1,9}{\sin^2 \alpha} + B(1 - \alpha \operatorname{tg} \alpha) P_0 \quad (7)$$

Здесь α - половина угла пролета ($h = \beta_0 \lambda \frac{\alpha}{\pi}$, h - высота пролетного зазора), $\beta_0 = \frac{1}{2} \sqrt{\mu_e^2 - 1}$, P_0 - мощность пучка. A и B не зависят от P_0 и α . Первый член в (7), - потери в стенках резонатора, - минимален при $\alpha \approx \frac{\pi}{2}$ (для $eU_0 = 200$ кэВ, $h = 0,35\lambda$), второй член, - мощность взаимодействия с пучком, - при $\alpha = \operatorname{tg} \alpha$ ($\alpha = 1,42\pi$) меняет знак. Следовательно, дальнейшее увеличение угла пролета ($2\alpha > 2,84\pi$) приведет к частичной компенсации потерь в стенках за счет энергии электронов. Однако, высота такого резонатора чрезмерно велика ($h > \lambda$), т.к. после пролета электроном расстояния, соответствующего минимуму потерь ($2\alpha = \pi$, $h = 0,35\lambda$), угол разверт-

ки начинает уменьшаться и падает до нуля ($\operatorname{tg} \alpha \sim \sin \alpha$, $2\alpha = \pi$, $h = 0,7\lambda$), так что необходимо дальнейшее увеличение пролетного промежутка.

Если же участок пути электрона $\pi \leq 2\alpha \leq 2\pi$ экранировать трубкой дрейфа*) (рис.8), то угол развертки после первого зазора ($h_1 = 0,35\lambda$) сохранится и на участке дрейфа ($h_2 = 0,35\lambda$), а во втором зазоре ($h_2 \approx 0,1\lambda$) электрон отойдет от оси резонатора настолько, что станет возможной регенерация ВЧ мощности. Такой резонатор размещается в схеме аксиального гирокона с удлиненным лучом, но в нем велико выходное отверстие для пучка ($\phi 0,25\lambda$).

Более короткий E_{110} -резонатор развертки с двумя пролетными зазорами приводит к регенерации ВЧ мощности, если фазу поля после первого зазора повернуть на 180° (π -вид колебаний)** (рис.9). Его высота составляет приблизительно $0,5\lambda$, так что он размещается и в схеме радиального гирокона.

Количественную оценку характеристик этих резонаторов можно сделать на основе результатов приближенного анализа E_{110} -резонатора развертки с малым углом отклонения луча [5]. Расчитываются координаты и скорости электронов на выходе первого зазора, а далее каждый из последующих пролетных промежутков рассматривается как одиночный резонатор с соответствующими начальными условиями для входящих в него электронов.

В резонаторе с трубкой дрейфа высотой $h_2 = h_1 = 0,35\lambda$ (что соответствует $2\alpha = \pi$, если $eU_0 = 200$ кэВ) результирующий угол развертки равен α (8),

$$\operatorname{tg} \alpha = \operatorname{tg} \alpha_e \sqrt{1 + 3 \sin^2 \alpha_e} \quad (8)$$

Здесь α_e - угол развертки в одиночном резонаторе высотой $h = \frac{1}{2}\beta_0\lambda$ (максимальный угол в заданном поле), α_e - половина угла пролета второго зазора. Мощность взаимодействия пучка с

*) Подобная экранировка делается в ускоряющих E_{010} -резонаторах Альвареца [11], где частица летит в трубке дрейфа в течение неблагоприятного периода.

**) Резонаторы такого типа с симметричным видом колебаний описаны Андреевым, т.н. резонатор с шайбами [12] и резонатор с шайбами и диафрагмами [13].

таким резонатором составляет P_1 (9):

$$P_n = P_o \left(1 + \frac{1}{\delta_0}\right) \left(1 - \frac{\frac{3}{2} \alpha_2 + \pi}{1 + 3 \sin^2 \alpha_2} \cdot \sin 2 \alpha_2\right) \operatorname{tg}^2 \alpha, \quad (9)$$

где P_o — мощность пучка. Отрицательное значение мощности взаимодействия соответствует регенерации. Максимум ее наступает при $\alpha_2 \approx \frac{\pi}{4}$, и для $P_o = 10^3$ кВт, $eU_0 = 200$ кэВ ($h_2 = 5,6$ см), $\alpha = 0,15$ составит $P_n = -16$ кВт. Такая мощность превысит потери в стенках резонатора и приведет к самовозбуждению системы развертки. Действительно, мощность потерь в одиночном E_{110} -резонаторе при $\alpha_1 = \frac{\pi}{2}$ (первый зазор) составит для $\operatorname{tg} \alpha_1 = \operatorname{tg} \alpha_e \approx 0,1$ (8) $P_1 \approx 4,5$ кВт [5]. Высота резонатора с трубкой дрейфа вдвое больше, но торцевых стенок — две, а не четыре, как в двух одиночных резонаторах, поэтому удвоение потерь, $-P_{\text{рез}} = 2P_1 \approx 9$ кВт, — дает с запасом оценку мощности поглощаемой стенками, трубкой дрейфа и поддерживающими штангами (рис.8). При уменьшении второго зазора до $h_2 = 1,4$ см регенерация прекращается. Промежуточная величина $h_2 = 2,3$ см ($\alpha_2 = \frac{\pi}{40}$) приводит к значению мощностей $P_n = -11,4$ кВт при $P_{\text{рез}} = 17,6$ кВт.

Таким образом, входная мощность гирокона составляет

$P_{\text{вх}} = P_{\text{рез}} - |P_n| = 6,2$ кВт, т.е. снижается примерно вчетверо, в сравнении с мощностью в схемах с одиночным оптимальным резонатором развертки. Невысокая степень регенерации, $\frac{|P_n|}{P_{\text{рез}}} = 0,65$, обеспечивает умеренный рост требований к стабильности амплитуды ВЧ генератора развертки и тока пучка.

Для сдвоенного резонатора с π -видом колебаний при одинаковой высоте первого и второго зазоров ($h_1 = h_2$, $\alpha_1 = \alpha_2 = \alpha$) (рис.9) мощность взаимодействия составит

$$P_n = P_o \left(1 + \frac{1}{\delta_0}\right) (1 - 2 \alpha \operatorname{ctg} \alpha) \operatorname{tg}^2 \alpha, \quad (10)$$

а результирующий угол развертки α — (II):

$$\operatorname{tg} \alpha = 2 \operatorname{tg} \alpha_1 \cdot \delta n \alpha, \quad (\text{II})$$

где α_1 — угол развертки в одиночном резонаторе высотой h_1 . Регенерация возможна при $\alpha \operatorname{ctg} \alpha > \frac{1}{2}$ ($\alpha < 1,16$), что соответствует $h_1 = h_2 < 0,26 \lambda$ (при $eU_0 = 200$ кэВ). Так, например, при $h_2 = 0,24 \lambda$ ($\alpha = 1,08$) и $\alpha = 0,15$ мощность регенерации $P_n = -6$ кВт, а потери в стенках $P_{\text{рез}} = 12$ кВт. Эти потери оцениваются как потери в трех одиночных E_{110} -резонаторах,

т.к. при возбуждении π -вида колебаний в таком резонаторе имеются три пучности напряжения, если следовать по радиусу вдоль поверхности диска от оси до края и обратно (рис.9), $P_{\text{рез}} \approx 3P_1$. Мощность потерь P_1 вычисляется для угла развертки α_1 (II) [5].

Таким образом, входная мощность гирокона $P_{\text{вх}} = P_{\text{рез}} - |P_n| = 6$ кВт получается здесь при степени регенерации $\frac{|P_n|}{P_{\text{рез}}} = 0,5$. Незначительной регулировкой пролетных зазоров (в пределах 1 ± 2 см) можно изменять степень регенерации.

Рассмотренные примеры резонаторов развертки с регенерацией ВЧ мощности показывают, что усиление двухрезонаторного гирокона мегаваттной мощности на частоте 915 МГц можно поднять с 14 до 20 дБ и более при ужесточении в два-три раза требований к системам стабилизации питания и развертки в сравнении с гироконом метрового диапазона.

6. Проведенный анализ позволяет сделать вывод о том, что на частоте 915 МГц возможно, по-видимому, разработать двухрезонаторный гирокон непрерывного генерирования мощностью 600 ± 1300 кВт с полным КПД 60 ± 70 % и коэффициентом усиления более 20 дБ. Гирокон может быть построен как по радиальной конструктивной схеме, так и по аксиальной схеме с удлиненным луком. В первом варианте может возникнуть принципиальное ограничение по электрической прочности выходного резонатора, во втором — требуется усложнение схемы питания или конструкции коллектора для исключения тепловых перегрузок. Оба варианта требуют применения интенсивного охлаждения и резонаторов развертки с регенерацией ВЧ мощности. Это усложнит конструкцию, а также системы стабилизации и управления, по сравнению с действующим гироконом метрового диапазона волн. Однако, значительное уменьшение линейных размеров резонаторов при переходе к дециметровому диапазону дает и определенные конструктивно-технологические преимущества, облегчая экспериментальное исследование тех ограничений, которые недоступны расчетным оценкам.

Таблица 1

Электронно-оптический канал радиального гирокона

№ формулы	Величина или соотношение	Обозначение, формула	Результат оценки для $U_0 = 2 \cdot 10^5$ В, $P_0 = 10^6$ Вт
(1)	Пропускная способность канала	$\frac{D}{L} \approx 160 \sqrt{\frac{P_0}{U_0^2 (1 + 10^{-6} U_0)^{\frac{1}{2}}}}$	30
(2)	Условие токодренирования (при допущении $\Delta + \alpha = 2\vartheta_{min}$ [7])	$\frac{\sin \alpha}{3} > \frac{D}{L}$	$\alpha \geq 0,1$
(3)	Радиус отражателя (рис. 6.)	$a = \frac{L}{2} \sin \alpha - \frac{3}{2} \vartheta_{min}$	1,65 см
	Толщина водоохлаждаемой стенки	A	1 см
	Диаметр пучка в кроссовере	$D_{min} = \frac{D}{2,38}$	0,7 см
	Угол развертки	α	0,15 см
	Длина канала	$L = \left(\frac{D}{2}\right) \frac{\lambda}{20}$	1,5 λ
(4)-	Максимальная магнитная индукция в ферромагнитном стержне-отражателе (рис. 5)	$B_{max} = 15 \cdot 10^{-4} \sqrt{f_0^2 - 1} \cdot \frac{L S_{mid}}{a^2}$	0,4 Тесла
	Относительная энергия электронов	$f_0 = \frac{U_0}{577 \cdot 10^3} + 1$	1,4
(5)	Угол расходности пучка в вертикальной (рис. 5) и горизонтальной плоскостях	$(\Delta\varphi)_0 = 1,5 \frac{\vartheta_{min}}{L S_{mid}}$ $(\Delta\psi)_0 = 2 \frac{\vartheta_{min}}{L S_{mid}}$	$(\Delta\varphi)_0 = 0,14$ $(\Delta\psi)_0 = 0,19$

Таблица 2

Результаты оценок параметров гирокона

Основные характеристики	Радиальный гирокон	Аксиальный гирокон с удлиненным лучом		
	$U_0 = 200$ кВ $P_0 = 1000$ кВт	$U_0 = 250$ кВ $P_0 = 1000$ кВт	$U_0 = 200$ кВ $P_0 = 1000$ кВт	$U_0 = 250$ кВ $P_0 = 2000$ кВт
Выходная мощность	$P_{вых.}$ [кВт]	600	1300	650
Полный КПД	%	60	65	65
Коэффициент усиления	$K_{\text{УСЛ}}$	14	16	14
	E [$\frac{\text{кВ}}{\text{см}}$]	100	125	55
	$P_{уд. колл.}$ [$\frac{\text{Вт}}{\text{см}^2}$]	125	180	400
	$P_{1 \text{ уд. вых.рез.}}$ [$\frac{\text{Вт}}{\text{см}^2}$]	135	200	30
				45

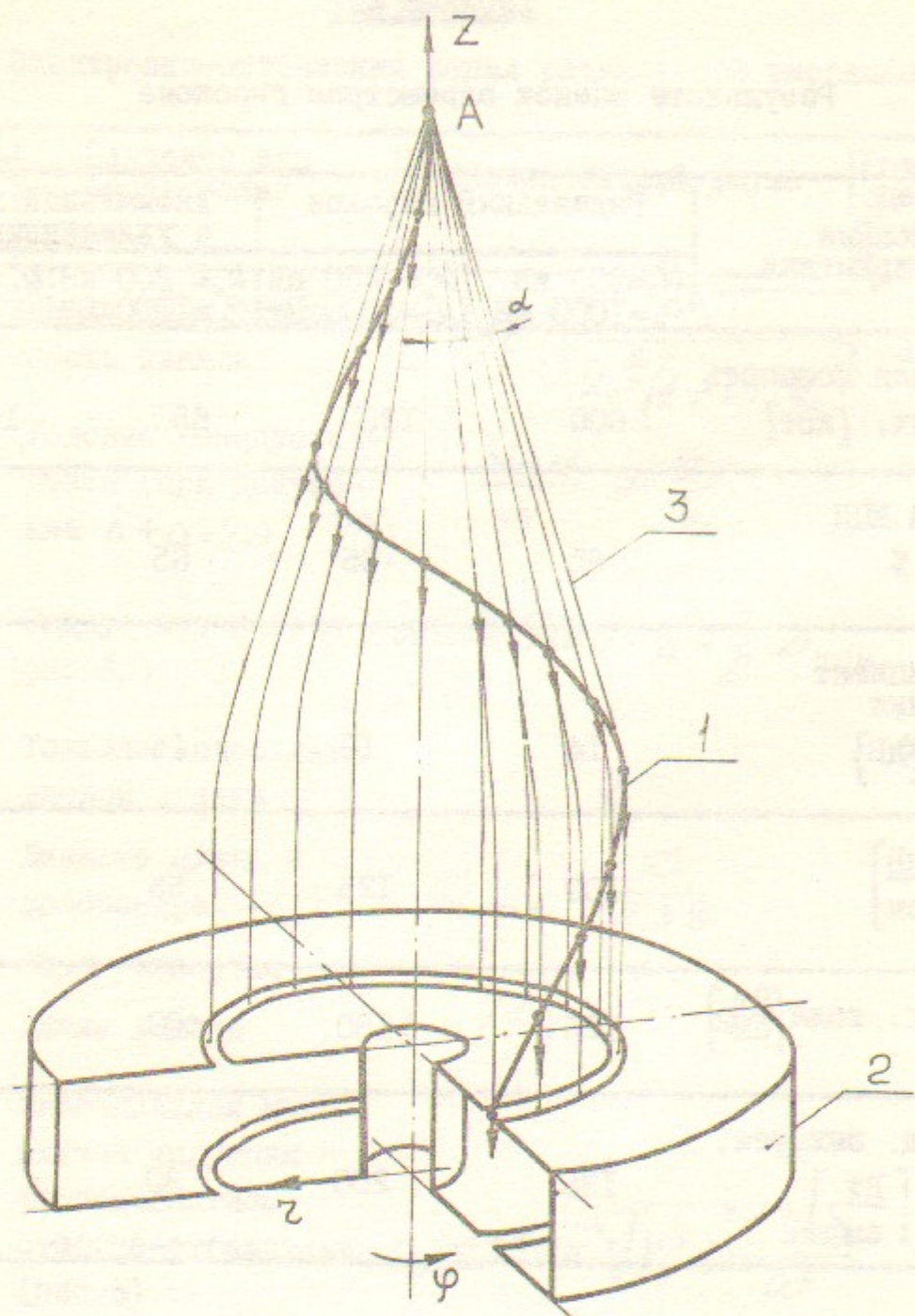


Рис.1. Электронный пучок и выходной резонатор аксиального гирокона

- 1 - мгновенные положения и скорости электронов;
- 2 - выходной резонатор;
- 3 - траектория электрона;
- A - центр резонатора развертки;
- α - угол развертки.

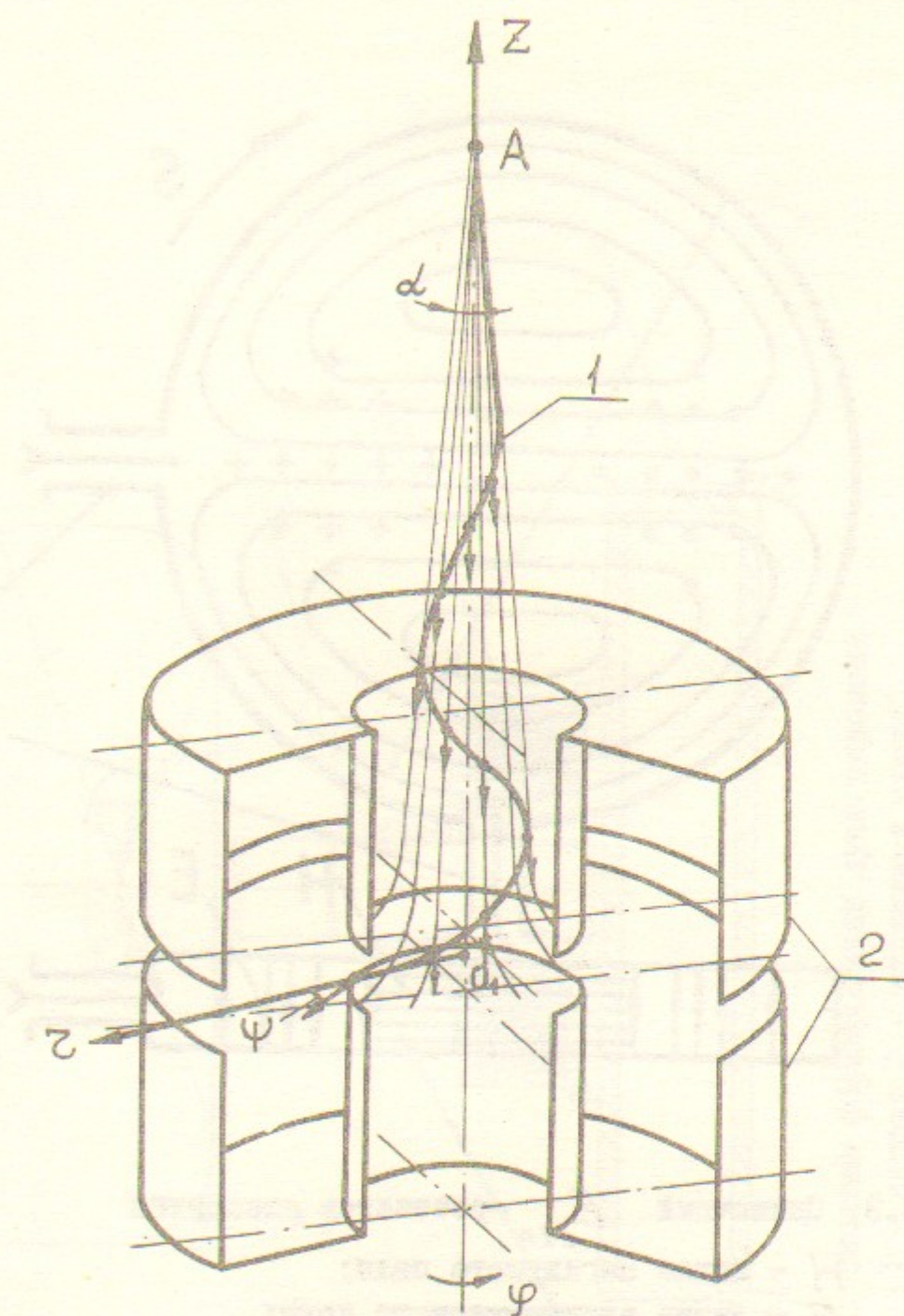


Рис.2. Электронный пучок и выходной резонатор радиального гирокона

- 1 - мгновенные положения и скорости электронов;
- 2 - выходной резонатор;
- A - центр резонатора развертки;
- α - угол развертки.

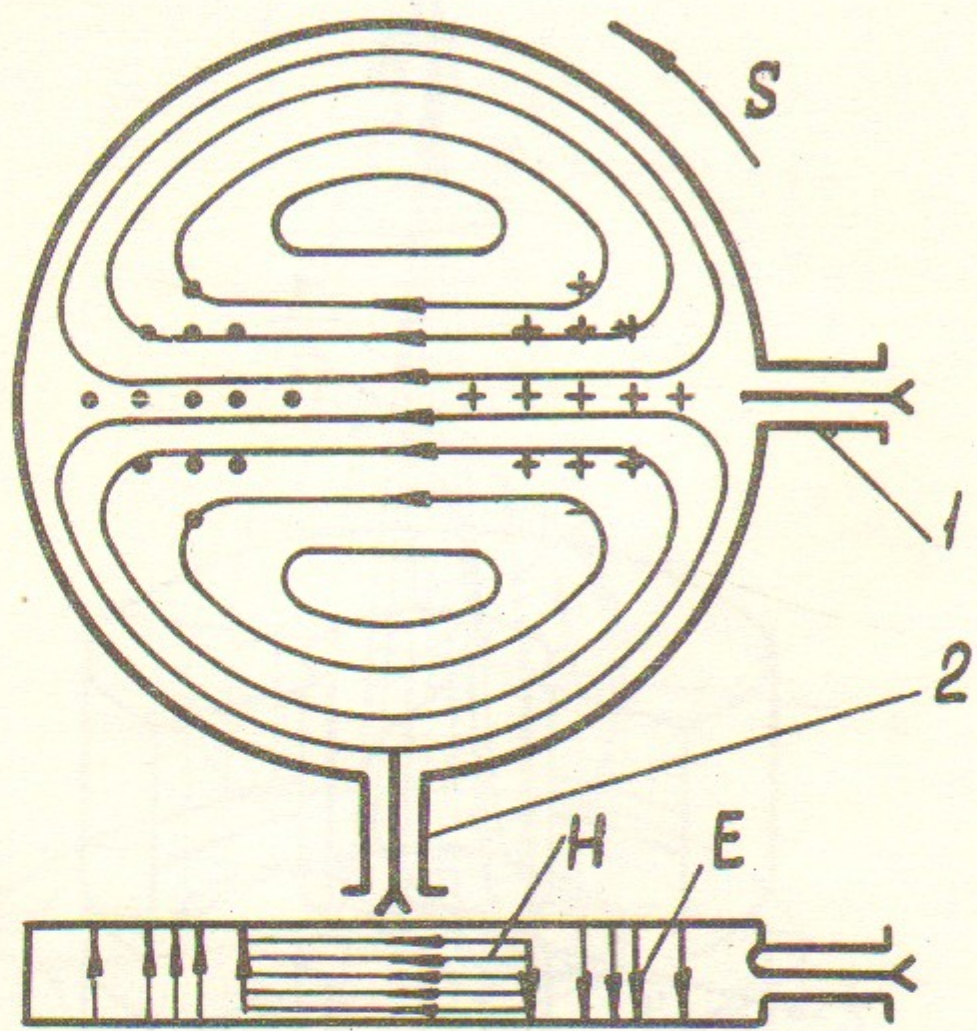


Рис.3. Одиночный E_{110} -резонатор развертки

H - линии магнитного поля;
 E - линии электрического поля;
 I, 2 - вводы мощности;
 S - направление вращения поля.

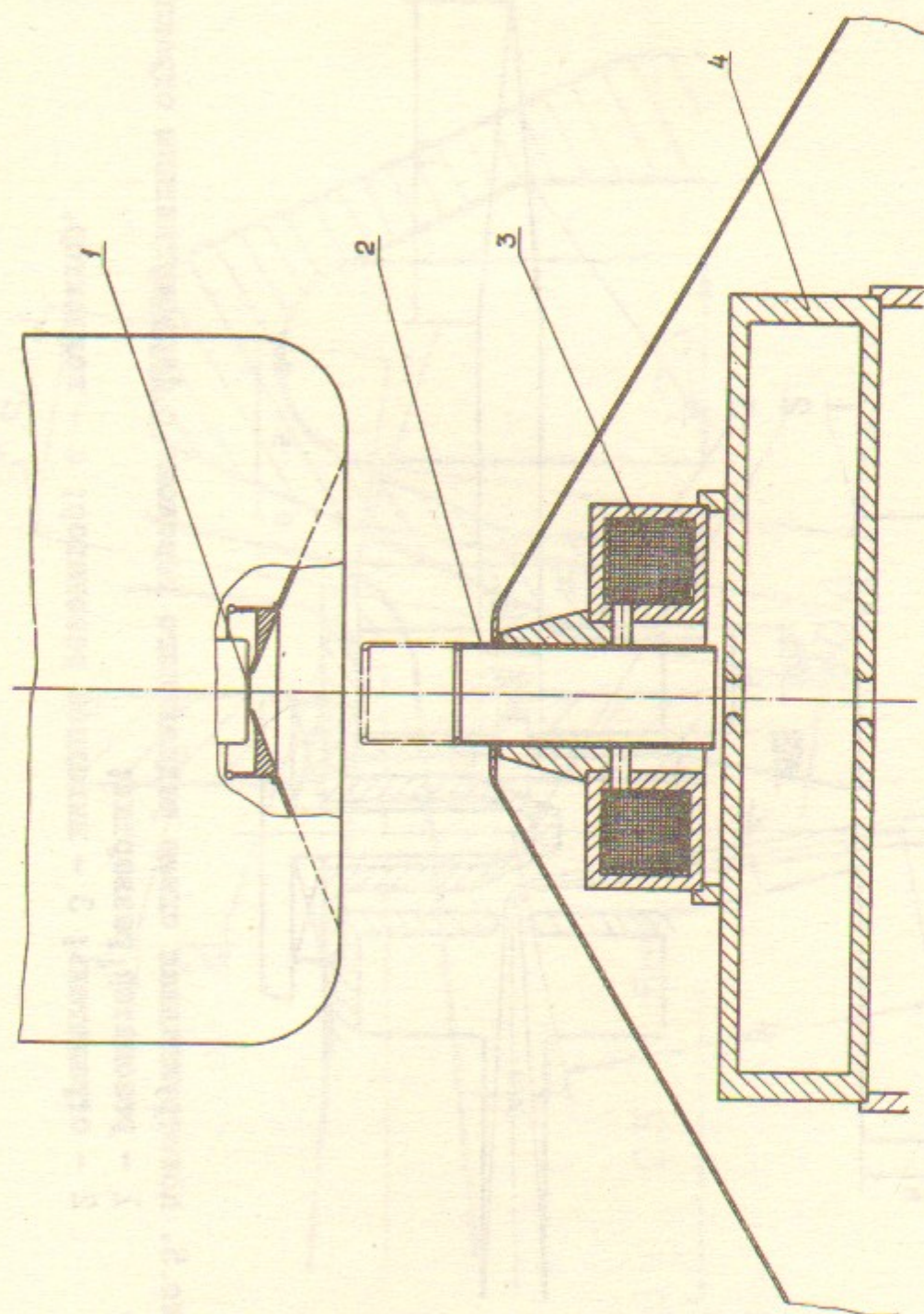


Рис.4. Система формирования луча гирокона
 1 - катод; 2 - подвижный анод;
 3 - первая фокусирующая линза;
 4 - резонатор развертки.

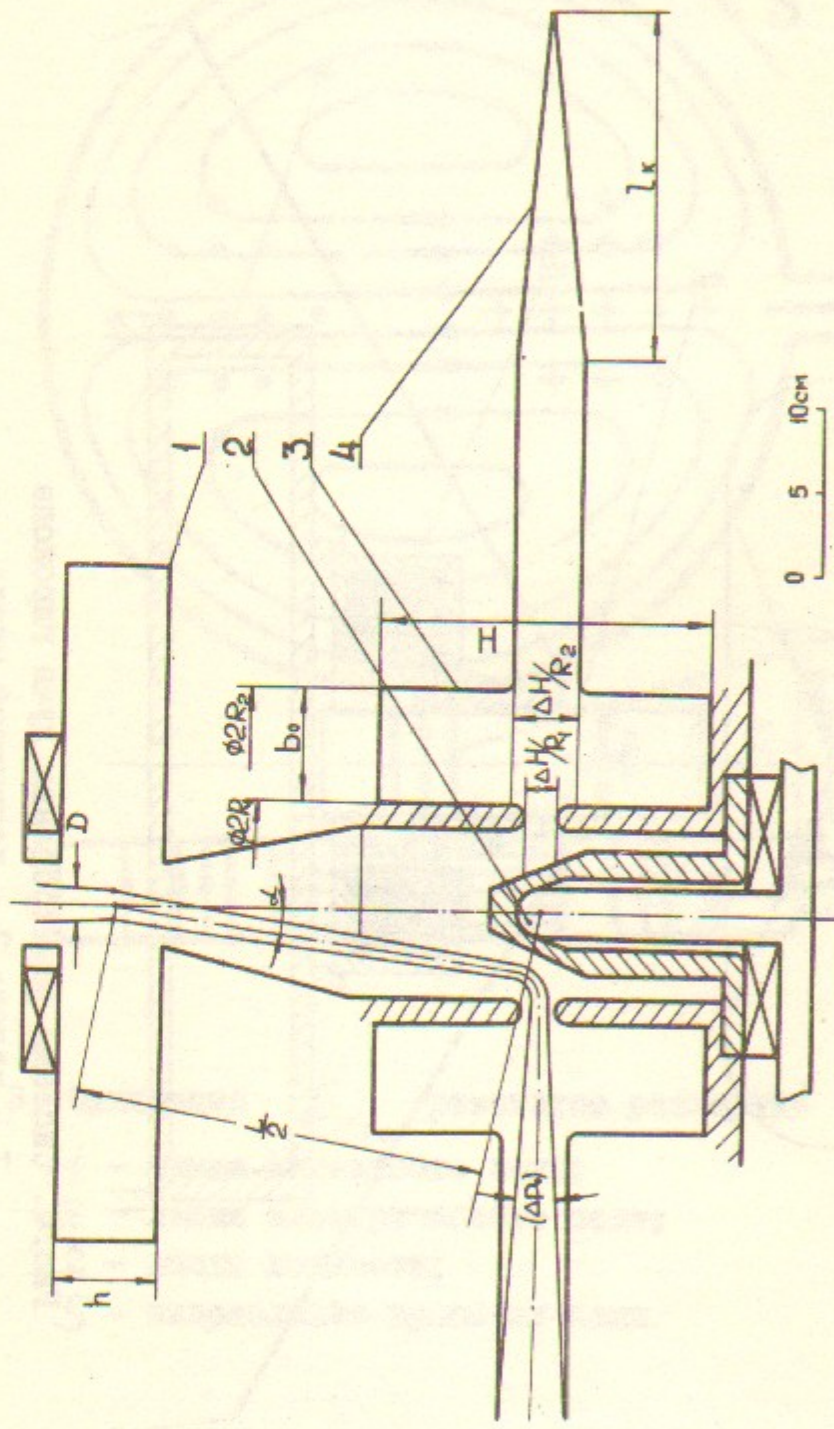


Рис.5. Конструктивная схема радиального гирокона с ферромагнитным отражателем
1 - резонатор развертки;
2 - отражатель; 3 - выходной резонатор; 4 - коллектор.

18

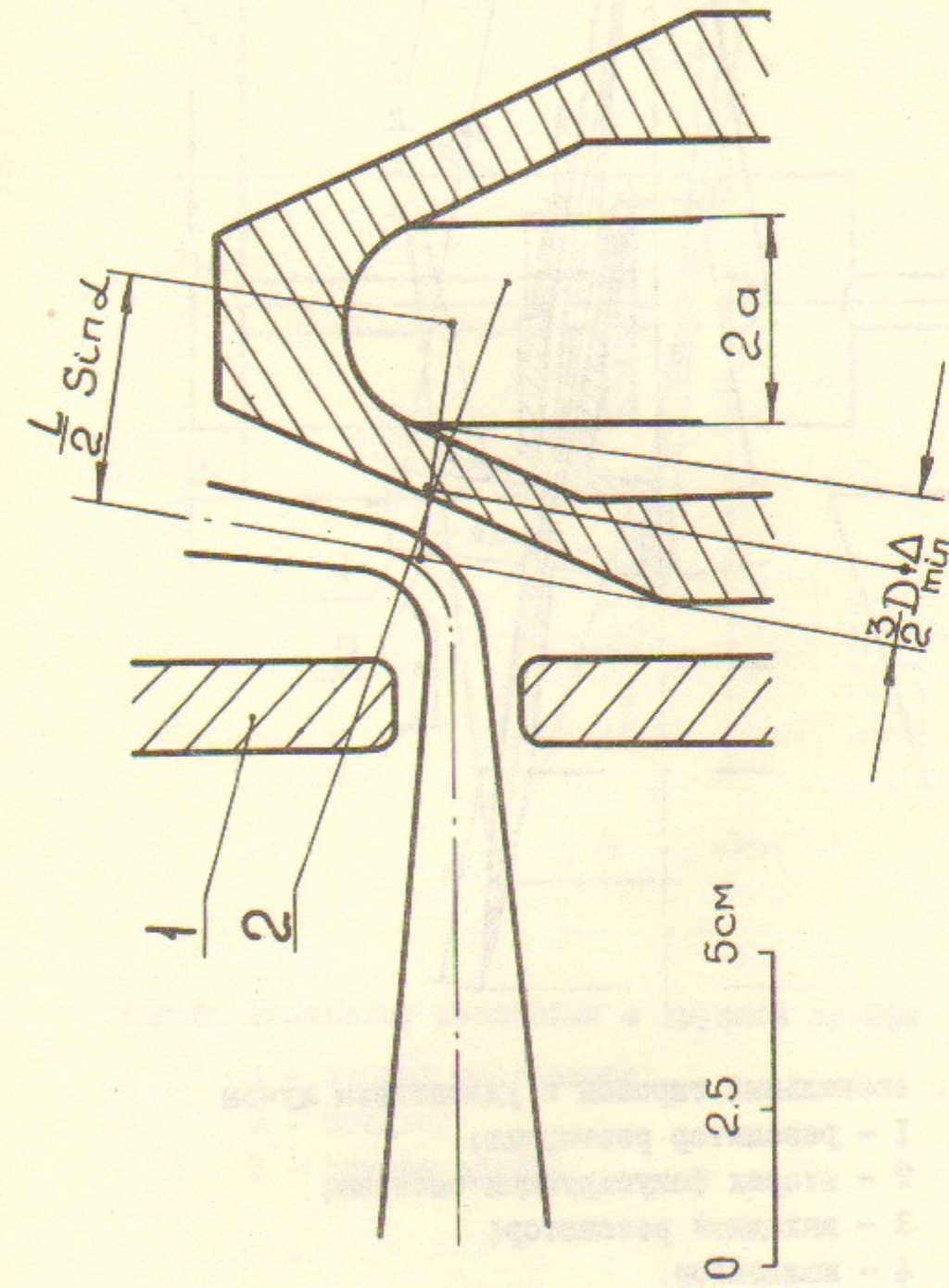


Рис.6. Область вблизи отражателя радиального гирокона.
1 - выходной резонатор; 2 - отражатель.

19

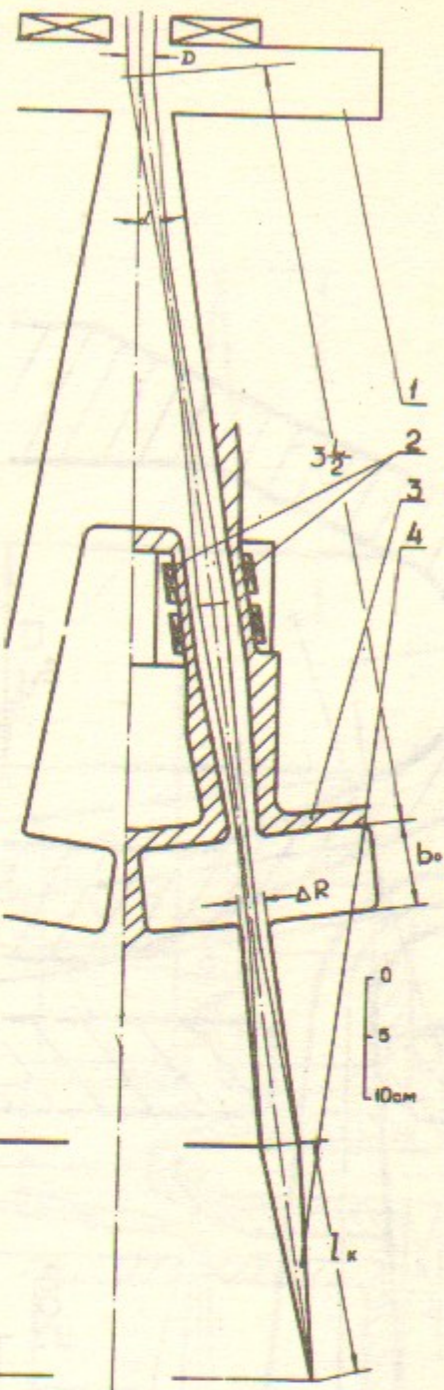


Рис.7. Аксиальный гирокон с удлиненным лучом
 1 - резонатор развертки;
 2 - вторая фокусирующая система;
 3 - выходной резонатор;
 4 - коллектор.

20

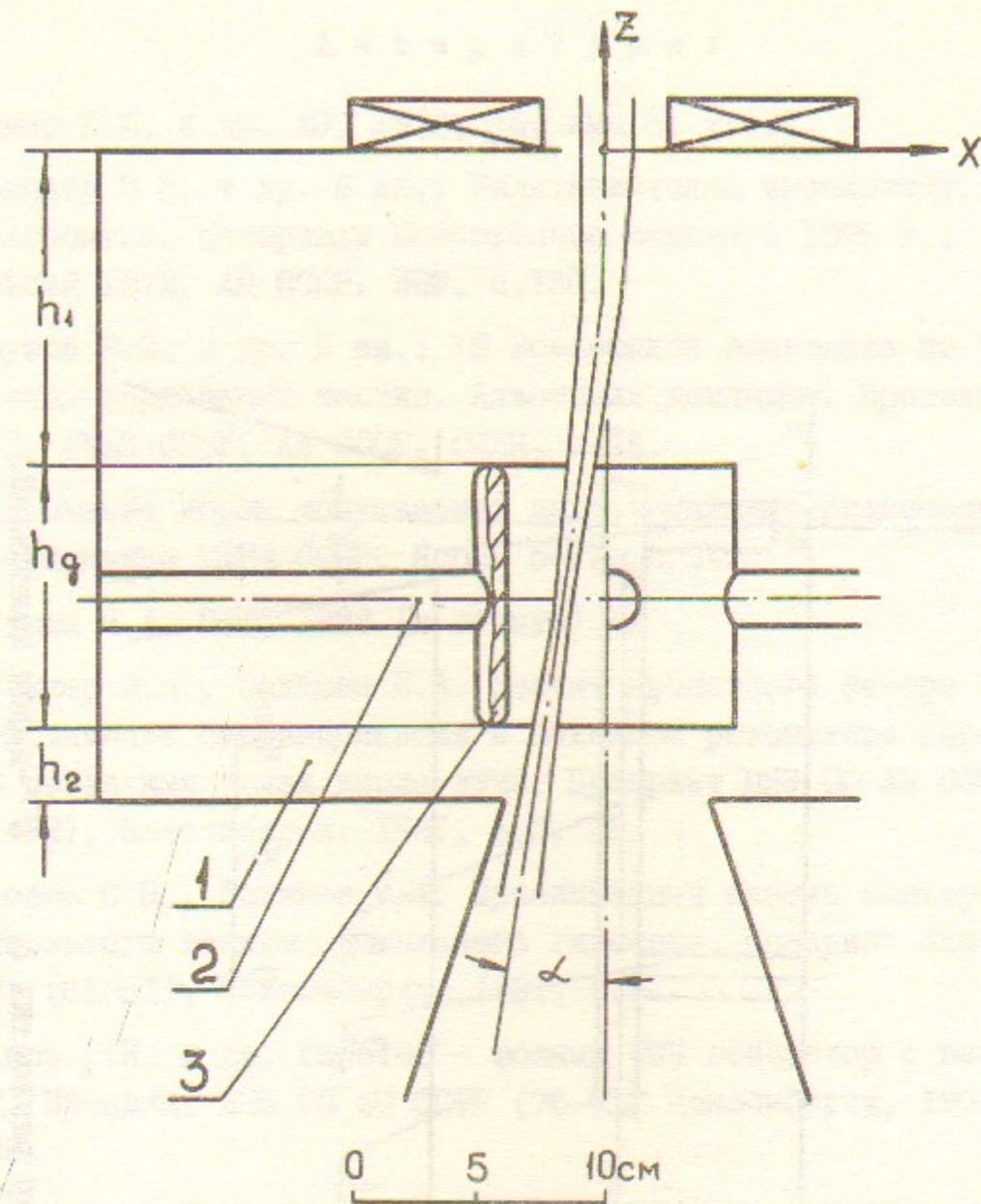


Рис.8. Резонатор развертки с трубкой дрейфа
 1 - стенка резонатора;
 2 - штанга;
 3 - трубка дрейфа.

21

Л и т е р а т у р а :

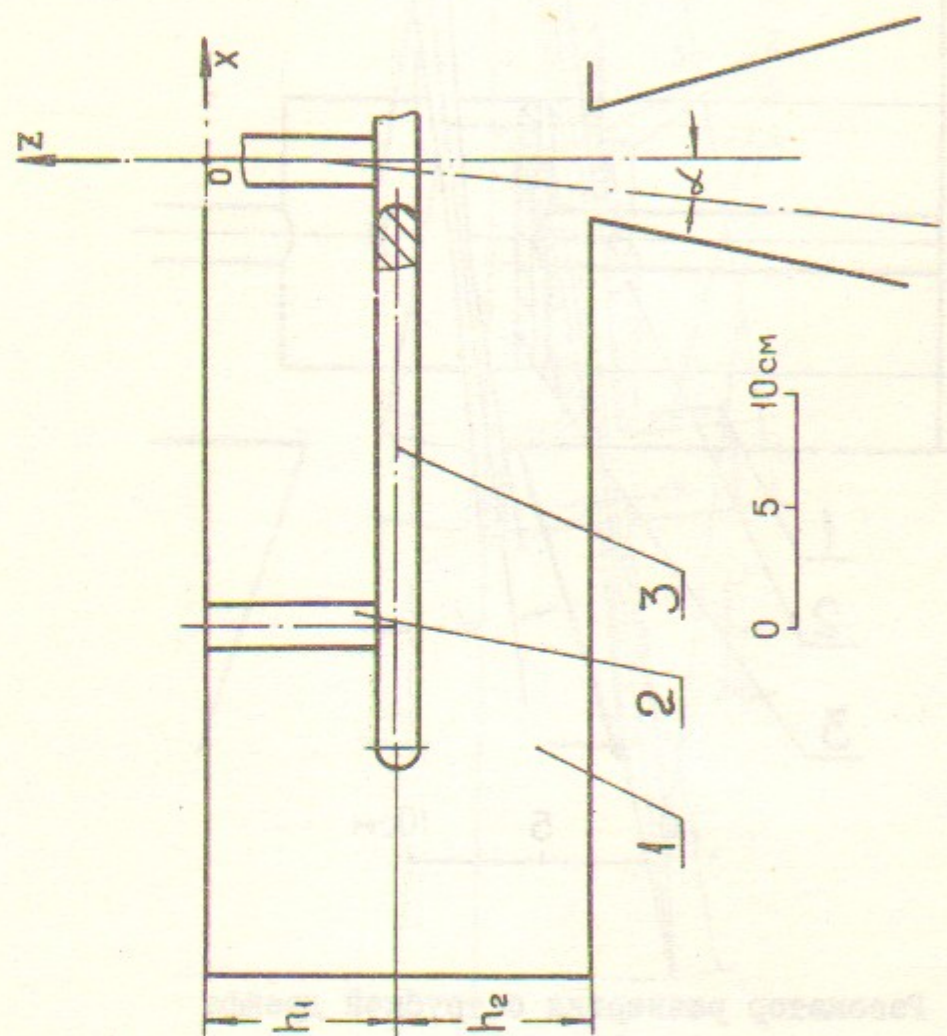


Рис. 9. Сдвоенный резонатор развертки с π -видом колебаний.
1 - стекка резонатора; 2 - штанга; 3 - диск.

1. Будкер Г.И. и др. АЭ, 1978, 44, вып.5, с.397.
2. Горнигер Э.И. и др. В кн.: Релятивистская высокочастотная электроника. Материалы Всесоюзного семинара 1978 г., Горький 1979, АН СССР, ИФ, с.130.
3. Арбузов В.С. и др. В кн.: УШ Всесоюзное совещание по ускорителям заряженных частиц. Аннотации докладов. Протвино, 1982, ГКАЭ СССР, АН СССР, ОИЯИ, с.18.
4. Общесоюзные нормы допускаемых индустриальных радиопомех, утвержденные ГКРЧ СССР. Нормы 5-72, с.34.
5. Шехтман И.А. РиЭ, 1983 (в печати).
6. Горнигер Э.И., Шехтман И.А. Расчет пролетного зазора и коэффициента перенапряжения в выходном резонаторе гирокона при различных углах ввода луча. Препринт ИЯФ СО АН СССР (81-52), Новосибирск, 1981, с.5, 35.
7. Морозов С.Н., Шехтман И.А. Приближенный анализ электронно-оптического тракта радиального гирокона. Препринт ИЯФ СО АН СССР (81-51), Новосибирск, 1981, с.5.
8. Будкер Г.И. и др. Гирокон - мощный СВЧ генератор с высоким КПД. Препринт ИЯФ СО АН СССР (78-9), Новосибирск, 1978, с.25.
9. Вещеревич В.Г. и др. Труды УІ Всесоюзного совещания по ускорителям заряженных частиц, 1978, Дубна, 1979, АН СССР, ГКАЭ, ОИЯИ, т.1, с.315.
10. Карлинер М.М. и др. Круговая развертка пучка электронов в гироконе. Препринт ИЯФ СО АН СССР (82-147), Новосибирск 1982, с.9.
- II. Alvarez L.W. et al. Rev. Sci. Instr., 1955, 26, 2, p.11.
12. Андреев В.Г. ЖТФ, 1968, XXXVIII, № 8, с.1306
13. Андреев В.Г., Пашковский В.В. ЖТФ, 1970, X, № 3, с.523.

Э.И.Горникер, С.Н.Морозов, В.Е.Теряев,
И.А.Шехтман

АНАЛИЗ ОГРАНИЧЕНИЙ ПАРАМЕТРОВ ГИРОКОНА НЕПРЕРЫВНОГО
ГЕНЕРИРОВАНИЯ МЕГАВАТТНОЙ МОЩНОСТИ ПРИ ПЕРЕХОДЕ ОТ
МЕТРОВОГО К ДЕЦИМЕТРОВОМУ ДИАПАЗОНУ ВОЛН

Препринт
№ 83-46

Работа поступила - 18 февраля 1983 г.

Ответственный за выпуск - С.Г.Попов
Подписано к печати 19.04.1983 г. № 10098
Формат бумаги 60x90 I/16 Усл.л.3 печ.л., I,I учетно-изд.л.
Тираж 290 экз. Бесплатно. Заказ № 46.

Ротапринт ИЯФ СО АН СССР, г.Новосибирск, 90